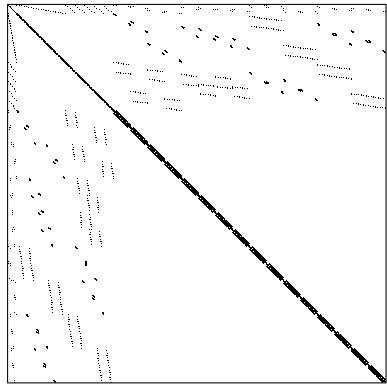
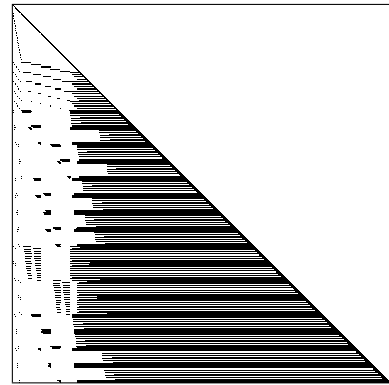


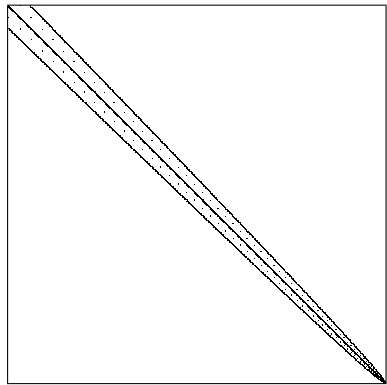
A. Appendix



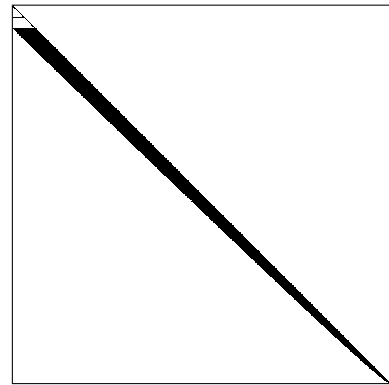
(a) Nulpatroon van de originele 1089×1089 -matrix A ; ze heeft 7361 niet-nul-elementen.



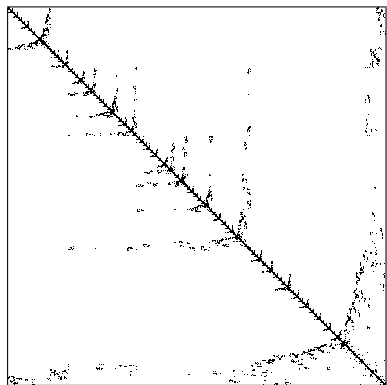
(b) Nulpatroon van de L -factor uit de Cholesky-factorisatie van A . Fill-in: 199.710.



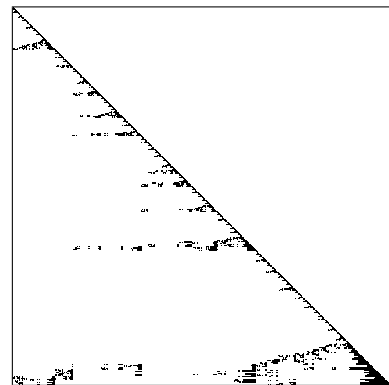
(c) Nulpatroon van de herorderde matrix A_{RCM} volgens het *Reverse Cuthill-McKee* schema.



(d) Nulpatroon van de L -factor uit de Cholesky-factorisatie van A_{RCM} . Fill-in: 44.321.



(e) Nulpatroon van de herorderde matrix A_{AMD} volgens de *Approximate Minimum Degree* algoritme.



(f) Nulpatroon van de L -factor uit de Cholesky-factorisatie van A_{AMD} . Fill-in: 11.680.

Figuur A.1.: Een matrix A , die uit de FEM-discretizatie van een elliptisch probleem komt, en haar L -factoren uit de Cholesky-factorisatie voor verschillende permutatiestrategieën.